

# 탄소섬유시트로 보강된 철근콘크리트 보의 시공불량시 힘 거동에 관한 연구

A Study on Flexural Behavior of Externally Reinforced R.C. Beam  
with Carbon Fiber Sheet : In Case of Constructional Deficiencies

박현정\*

이홍주\*\*

박성수\*\*\*

Park, Hyun-Jung

Lee, Hong-Ju

Park, Sung-Soo

## Abstract

The flexural behavior of the reinforced concrete (RC) structure upgraded by external reinforcements was examined in this study. It is well known that the incorporation of carbon fiber sheet (CFS) with concrete is one of the most effective ways to strengthen the RC structure. Complete bonding is required between CFS and concrete in order to make the RC structure provide its full function until the time the RC structures serve. Many studies have reported that construction deficiencies have caused the debonding of the CFS from concrete before the RC structure with CFS reaches its ultimate capacity.

This research took a systematic look at the failure mechanism, macroscopic load-deformation characteristics, the maximum load applied, and maximum bending moment when construction deficiencies exist. The results of the experiment conducted were compared with theoretically derived values. In the future, the results of this investigation will help minimize the factors of construction deficiencies, which may occur when CFS is used to reinforce a RC structure. The experiment was manipulated with steel reinforcement ratio and piles of CFS on a total of 14 beams (20cm × 30cm × 240cm).

The results showed that internal moment capacity increased even when construction deficiencies existed. However, RC structures with CFS in the field still contain a considerable level of potential risks.

**Keywords :** Flexural Behavior, External Reinforcement, Carbon Fiber Sheet, Construction Deficiencies, Complete Bonding, Debonding, Moment Capacity, Potential Risk

\* 청희원, 부산대 재산기술연구소 책임연구원, 공학박사

\*\* 청희원, 부산정보대 건설개별 보록전공 조교수, 공학박사

\*\*\* 청희원, 부산대 건축공학과 교수, 공학박사

E-mail : july29@bit.ac.kr 010-551-7217

● 본 논문에 대한 토의를 2002년 3월 31일까지 학제로 보내 주시면 2002년 7월초에 토론회장을 개최하겠습니다.

## 1. 서 론

철근콘크리트 구조물의 보강공법 중 단조설유시트 보강공법은 단조가 섬유형태로 가공함으로서, 절에 비해 경량이고, 원근에 비해 약 10배 높은 인장강도를 가지면서, 무식의 문제가 없고, 시공시 공기가 잘고, 내후성 등이 우수하기 때문에 철근콘크리트 구조물의 보강공법으로서 많이 이용되고 있다. 그러나, 본 공법은 전문적인 기술을 가진 보강업체가 부족하고, 이렇다 할 보강교준이 제시되어 있지 않아 보선시공의 가능성을 폐제할 수 없다는 단점도 있다. 단조설유시트의 실제 시공시 불량이 발생한다면 보강된 구조물의 사용은 예상할 수 있는 경우와 다르므로, 상당한 위험을 초래할 수 있다.

일반적으로 철근콘크리트 첨의 하부에 외부 보강재가 부착되어 있음 경우의 파괴형태는 보강재와 콘크리트 면 사이의 계면마찰에 의한 파괴, 지점부 균열에서 선단 등에 의해 콘크리트를 끊고 편리하는 단부마찰에 의한 파괴, 시트와 콘크리트면 사이의 틈략에 의한 파괴, 충분한 휨강도에 도달한 후 보강재의 인장 파단에 의한 파괴 등으로 분류할 수 있다<sup>1)</sup>. 그러나, 이러한 파괴양상을 통해서 보강된 보의 휨강도에 도달하기 전에 보강재의 틈략에 의한 파괴가 일어날 경우, 보의 정확한 흡가동을 예측할 수는 없다.

본 연구에서도 오례에 걸친 선형에서 보강재와 콘크리트 면 사이의 시공 불량으로 보이는 틈략에 의한 파괴가 발생하였다(Fig. 1 참조). 이러한 현상은 단지 원현에서뿐만 아니라 현실에서도 충분히 일어날 가능성이 있다고 보여진다. 이에 시공 불량시 보강된 보에서 발생하는 현상 및 여러 가지 특징을 파악함으로써 기 사공된 시공불량 구조물의 사전진단을 가능하게 해

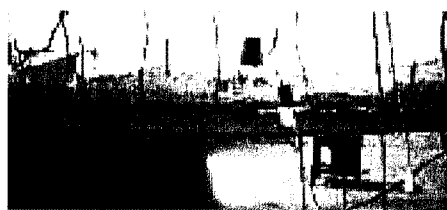


Fig. 1 단조설유시트의 불량

고, 향후 단조설유시트 보강시 발생할 수 있는 시공불량 요소를 파악하고자 한다.

그리고, 가장 중요한 보강재로인 단조설유시트는 성유의 함유량에 따라 그 재료성질이 많이 차이가 나기 때문에 재료자체와 설원을 정확히 파악하지 못해보 보강공유 제작한다는 것은 상당히 위험한 상태로 초래할 수가 있다.

따라서, 본 연구에서는 단조설유시트의 재료실험을 먼저 행하여 재료의 가장 중요한 성질인 단상계수를 규명하고, 실험을 통한 시공불량시 보의 파괴특성, 즉 충-변위 관계, 최대내력 등을 파악하고, 시공불량 요소와 그 대의 사항을 분석하고자 한다.

## 2. 실험 방법

### 2.1 시험체 계획

시험체는 균형철근비에 대한 인장철근비와 보강접수율수로, 하이 총 15개를 제작하였고, 시험체의 형상은 Fig. 2에, 시험체와 종류는 Table 1에 나타내었다.

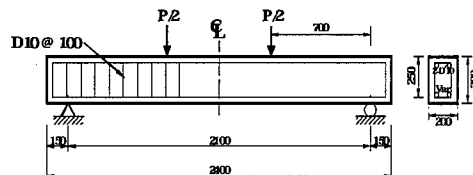


Fig. 2 시험체의 형상 및 배근

Table 1 시험체의 종류

시험체명	인장철근비	보강접수율
B1-D13-0		0
B1-D13-1	$\rho = 0.51$	1
B1-D13-2		2
B1-D13-3	$(\rho/\rho_s = 16.3\%)$	3
B1-D13-4		4
B2-D16-0		0
B2-D16-1	$\rho = 0.40$	1
B2-D16-2		2
B2-D16-3	$(\rho/\rho_s = 25.6\%)$	3
B2-D16-4		4
B3-D19-0		0
B3-D19-1	$\rho = 1.16$	1
B3-D19-2		2
B3-D19-3	$(\rho/\rho_s = 26.7\%)$	3
B3-D19-4		4

시험체의 설계는 전설교통부 제정 '콘크리트 구조 설계기준(1999)'을 적용하였다. 단면의 크기는  $20\text{cm} \times 30\text{cm}$ (높이 25cm), 경간은 210cm(순경간 210cm)로 하여, 압축측에는 2-D10을, 인장측에는 2-D13, 2-D16, 2-D19와 3개우를 배근하고, 선단보강근은 D10을 10cm 간격으로 선 구간 배근하였다.

## 2.2 시험체 보강

손상은 입하지 않은 시험체의 밖면 인장부에 탄소섬유시트를 쪽 18cm, 높이 200cm로 경간깊이 선지에 걸쳐 부착하였다. 또한 탄소섬유시트가 보의 단부에서 끊어지는 것을 방지하고, 펼 보간이 증가한 후의 상태로 하여, 허약해지는 선단부에서의 보강효과를 증가시키기 위하여 탄소섬유시트의 단부에 쪽 20cm, 높이 30cm(높이 높이) 만큼 U형 벤드를 각아 꽁착시켰다.

1점 보강 시험체 3개를 가열한 결과 1개 시험체와 마찬가지로 U형 벤드와 보 중앙부 사이가 끊어지는 현상(Fig. 1)이 나타나, 나머지 2개의 시험체는 보 차체의 최대 내력에 도달할 때까지 견딜 수 있게 하기 위하여, 순수 펼 구간을 위하여 기존 U형 벤드의 단부에서 왼쪽으로 20cm 밀어진 곳에 쪽 10cm, 높이 30cm의 U형 벤드를 제작하였다. (Fig. 3 참조)

일반적으로 탄소섬유시트의 보강 시공방법은 다음과 같다.

- 바탕자리 : 콘크리트 밋면을 그레인팅하고 파인부분은 퍼티를 사용하여 시공면을 평탄하게 한다. 이때 표면에 발생한 흙의 깊이가 3mm 이상되는 부분은 흙의 각경을 넓혀 퍼티 카트가 충분히 침투될 수 있도록 해야한다.
- 프라이어 도포 : 프라이어는 후속 도장되는 도쿄와의 부착력을 향상시키기 위한 2색형 강화용

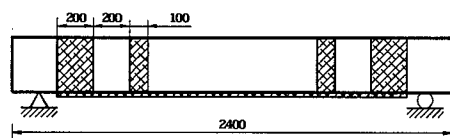


Fig. 3 탄소섬유시트 보강

에폭시 도포로서, 2회 도포하고 10시간 이상 경과시킨다. 이때 콘크리트 표면의 흙에 프라이어가 충분히 침투하도록 한다.

- 접착용 수지 도포 : 2색형 강화용 에폭시 레진으로서, 주재와 강화재를 4 : 1 또는 2 : 1의 비율로 혼합하고 2회 도포한다. 이때 혼합비는 반드시 제품의 사용서대로 혼합해야 한다.
- 탄소섬유시트 접착 : 탄소섬유시트의 접착방향이 주제축 방향과 평행하도록 접착시킨 후 로울러로 충분히 부침려 가로와 빠 준다. 이 때 여러 접유 시공한 경우 접마다 1시간 정도의 시간을 두고 시공을 해야 한다.
- 합침용 수지 도포 : 접착된 탄소섬유시트 위에 합침용 에폭시 수지를 도포하여 완전히 접착되도록 한다.
- 양성 : 에폭시가 충분한 접착성능을 발휘할 수 있도록, 평균기온 13°C 이상에서 일주일 이상 양성시킨다.

## 2.3 사용재료

### 2.3.1 콘크리트

본 실험에서 사용된 콘크리트는 설계기준강도가  $240 \text{ kgf/cm}^2$ 인 레미콘 제품을 사용하였고, 압축시험 결과 나타난 재료의 성질은 Table 2와 같다. Table 2에서 단성계수는 실험에 의한 단축강도를 이용하여  $15000/\sqrt{f_{ck}}$ 로 구한 값이다.

Table 2 콘크리트의 재료적 성질

위계강도 (kgf/cm <sup>2</sup> )	단축강도 (kgf/cm <sup>2</sup> )	단성계수 (kgf/cm <sup>2</sup> )
240	319	$2.65 \times 10^5$

### 2.3.2 철근

철근은 SD35인 D10, D13, D16, D19를 사용하였으며, 인장시험 결과 항복강도는 Table 3과 같고 단성계수는  $2.0 \times 10^5 \text{ kgf/cm}^2$ 를 사용하였다.

Table 3 철근의 재료적 특성

종류	제조	항복강도 (kgf/cm <sup>2</sup> )
D10	SD35	3697
D13	SD35	3445
D16	SD35	3599
D19	SD35	3793

### 2.3.3 탄소섬유시트

보강재로 사용한 탄소섬유시트는 1주) 한국가문제제품인 고탄성 탄소섬유로서 제조업체에서 제시한 단위 두께는 0.11mm~0.167mm이다. 본 연구에서는 ASTM D638에 의거하여 기교시험을 통하여 흡력-변형률 선도(Fig. 4)로부터 탄성계수를 구하였으며, 시트의 재료적 특성은 Table 4와 같다.

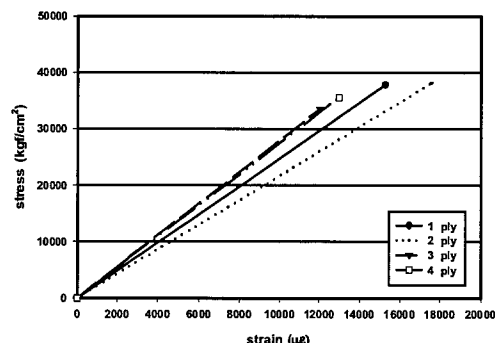


Fig. 4 탄소섬유시트 인접시험원 흡력-변형률 선도

Table 4 탄소섬유시트의 재료적 특성

접수	단위무게 (kg/cm <sup>2</sup> )	단屈계수 (kgf/cm <sup>2</sup> )	최대인장화률 (%)
1접	300	2.49·10 <sup>6</sup>	620.6
2접	300	2.29·10 <sup>6</sup>	1055.7
3접	300	2.60·10 <sup>6</sup>	2183.2
4접	300	2.65·10 <sup>6</sup>	3089.2

### 2.3.4 접착재

콘크리트와 탄소섬유시트라는 완전히 다른 두 재의 이중 계고가 하나의 구조체로서 성능을 발휘하기 위해

서는 무엇보다도 강력한 접착성을 확보되어야 한다.

탄소섬유시트의 접착선용으로 2회용 상온경화용 애초지 레진을 쓰는데, 이 때 주제와 경화제의 배합비가 적절하게 이루어져야 한다. 접착제의 품질자는 제조업체에서 제시한 값은 다음과 같다. Table 5와 같다.

Table 5 접착제의 재료 특성

접착강도 (kgf/cm <sup>2</sup> )	위장강도 (kgf/cm <sup>2</sup> )	굽곡강도 (kgf/cm <sup>2</sup> )	기판접착력 (kgf/cm <sup>2</sup> )
620	450	110	95

## 2.4 속점 방법 및 기력장치

시험체는 양쪽 단면에서 각각 15cm 떨어진 점에 강제로움직이도록 설치하여 회전에 대한 구속이 없도록 하였으며, 순수 휨구간이 70cm가 되도록 기력빔을 설치하고, 100ton 용량의 액추에이터를 사용하여 4점 휨실험으로 실시하였다. 기력빔은 면위계이방식으로 하였고, 가속도는 0.8 mm/min으로 하였다.

철근콘크리트 보와 보강재가 일체로 사용을 하는지 확인하기 위하여 콘크리트용 변형률 측정기(60mm)를 보와 중앙부 상단에 1개, 주면에 높이방향에 대하여 5cm 간격으로 5개 부착하였으며, 인장주근의 변형률을 측정하기 위하여 주근 중앙부에 철근용 변형률 측정기(5mm) 각각 1개씩을 콘크리트 대신 전에 부착하였다. 보강된 탄소섬유시트의 변형률은 중앙부에 보와 쪽 방향으로 3개 부착하여 측정하였고, 보와 중앙부에 면위계를 설치하여 치밀을 측정하였다.

## 3. 실험 결과 및 고찰

### 3.1 파괴암실

기존의 분현동에서 탄소섬유시트로 보강된 보의 일반적인 파괴양상을 살펴보면 탄소섬유시트가 파단되는 인장부와 탄소섬유시트와 순수 부착부, 탄소섬유시트와 철근보강부 파괴, 탄소섬유시트의 뒷면 등의 현상이 나타난다.

본 연구에서 실험한 바에 따르면 시험체 모두가 보자체의 흡강도에 도달하기 전에 팔라비는 현상이 발생되었다. 이 경우 최대대역에는 미치지 못하나 어느 정도의 내력은 흡보가 되므로 사용자의 입장에서는 전혀 의식의 여지가 없다. 하지만 구조적인 측면에서 보면 하중을 받고 있다가 갑자기 탄소섬유시트가 팔라비되는 경우 상당히 위험한 상황을 초래할 수가 있으므로 상당한 주의를 요해야 한다.

본 실험에서 보강하지 않은 가로 시험체의 경우에는 보의 중앙에서부터 균일이 나타나기 시작하여 차츰 상부로 신선파다가 콘크리트의 변형률이 3000 $\mu$  이상까지 도달되는 전형적인 팔라비의 현상을 나타내었다.

그러나, 보강된 보에서의 팔라비양상은 시험사 최대하중의 61~66% 정도에서 팔라비 탄소섬유시트가 보의 하부로부터 벗어나기 시작하는 조짐을 보이는 소리가 관찰적으로 나기 시작하다가, 최대하중의 70~84% 정도가 되었을 때 U형 벤드 암죽(중앙부)에서부터 탄소섬유시트의 팔라비가 서서히 진행되면서 현상이 많이 발생하고 팔라비도 심해졌다. 하중을 더 가하면 최대하중에 도달한 후 금속스레온 소리와 함께 탄소섬유시트의 중앙부가 팔라비되며, 순관적으로 U벤드로 고정되어 있던 무관이 떨어지면서 완쪽으로 벌어 버리는 현상이 나타났다. 이때 암죽부 콘크리트의 변형률은 ACI에서 규정하고 있는 국현면형률인 0.003에 미치지 못하였고, 탄소섬유시트 역시 단장 와단 변형률에도 도달하지 않은 상태에서 팔라비가 벌어가 때문에 이런 형태의 파괴로는 보강설계의 제안이 불가능해진다.

또한, 3겹으로 보강한 B2-D16-3 시험체의 경우는 한정된 탄소섬유시트의 겹과 겹 사이가 분리되는 현상을 볼 수 있었는데, 이는 탄소섬유시트가 제대로 무작이 되지 않은 상태에서 여러 겹을 동시에 시공했기 때문이다. 여러 겹의 탄소섬유시트와 사공한 때에는 겹마다 1시간 정도의 시간을 두고 시공을 하는 것이 바람직한 것으로 판단된다.

### 3.2 시공률량 묘소 및 분석

본 연구의 실험 결과, 대부분의 시험체에서 보강보의 흡강도에 도달되기 전에 탄소섬유시트가 팔라비되는

현상이 나타났다. 이렇게 충분한 강도에 도달하지 못하고 팔라비는 현상의 원인은 예측시 자체의 품질이 문제가 있거나, 사공시 표면처리, 예측시 주재와 경화제의 배합비, 탄소섬유시트 함침시 경화시간, 수지함침량, 보강후 양성시간 등 여러 요인에 문제가 있기 때문이라 볼 수 있다.

따라서, 2.2.2점에서 언급하였던 시공과정 중 시공률량이 발생한 것으로 추정되는 단계는 다음과 같다.

단계 ①, ②에서는 보면 그레이팅시 거울의 부족으로 면이 고르게 그레이팅 되지 않아 시공면이 평평해지 못하여 탄소섬유시트의 부착이 균일하게 이루어지지 않았으며, 그레이팅 후 바인 부분의 크기가 3mm 이상되는 바탕에서 넓게 퍼는 작업을 생략하고 페터치리유 한으로 인해 공기의 포함되어 기포발생의 기회가 많았을 것으로 판단된다. 또한 흙이 깊었기 때문에 브레이퍼가 충분하게 도포되지 않아 접착상동이 저하되었을 것으로 판단된다.

단계 ③의 예측시 배합시, 현재 국내에서 생산되는 탄소섬유시트 함침율 예측시 대신의 주재와 경화제의 배합비는 4 : 1, 2 : 1의 2종류가 있고, 배증의 사양시에 따라 전자저울 등으로 정확하게 계량하여 배합해야하는데 계량시 대충 조절함으로서 주재와 경화제가 외전하게 배합되지 않아 접착력이 상당히 저하되었던 것으로 판단된다.

단계 ④에서 탄소섬유시트 접착시 보통 보의 하부에 무작위에 내려온 것임을 알기 하므로 상향을 통해 작용하는 경우가 많은데, 이 때 작업이 아래워로 옮겨온 경우에 유지되지 못하고 도배하는 정도밖에 되지 않아 한정된 탄소섬유시트 내의 기포가 재생되거나 남아 있는 경우가 많다. 본 연구에서는 보를 뒤집어 놓고 탄소섬유시트를 접착하였음에도 불구하고 기포가 완전히 제거되지 않았으며, 2겹 이상 시공시 겹마다 시간을 두고 시공하지 않고 2~3겹을 한꺼번에 시공함으로 인해 완전히 무작되거나 않은 것으로 판단된다.

### 3.3 하중·변위 관계

#### 3.3.1 B1-D13 ( $\rho'/\rho_b = 16.3\%$ ) 시험체

균형점근비에 대한 인장점근비가 16.3%인 B1-D13

시험체 그룹에 대한 하중-변위 관계를 Fig. 5에 나타내었다. B1-D13-1 시험체는 데이터 오차로 판단되어 나타내지 않았다.

Fig. 5에서 보강접수가 증가함수와 최대하중과의 차감은 조금씩 감소하고, 최대하중은 무보강 시험체에 비해 1겹 보강일 때 71.12%만유 증가하였고, 2겹 보강일 때는 114.88%만유, 3겹 보강일 때는 123.47%만유이 증가하였음을 알 수 있었다. 기준에 제시된 보강도의 이원식에 근거하여 최대하중을 구해보면 1겹 보강일 때 71.13%만유, 2겹 보강일 때 148.81%, 3겹 보강일 때 222.05%만유 증가해야 하나, 실험결과에 따르면 단조성유이트의 뒷면으로 각 접수에 따라 95%, 77%, 56% 정도밖에 보강효과를 발휘하지 못한 것으로 나타났다.<sup>10)</sup>

그리고, 무보강 시험체는 파괴하중에 균형하면서 보가 떠단에 이로기하여 면위가 증가하는 전형적인 열성효과를 보였으나, 보강된 시험체는 어느 정도의 하중에 도달한 후에는 단조성유이트의 뒷면에 의하여 열성능력을 거의 발휘하지 못하고 N가 금속스러워 파괴되었다.

### 3.3.2 B2-D16 ( $\rho/\rho_b = 25.6\%$ ) 시험체

균형철근비에 대한 인장철근비가 25.6%인 B2-D16 시험체 그룹에 대한 하중-변위 관계를 Fig. 6에 나타내었다.

B1-D13 그룹과 마찬가지로 보강접수가 증가함수와

최대하중과의 차감은 차츰 감소하는 경향을 보였다. 최대하중은 무보강 시험체와 비교하여 보면 1겹 보강일 때 66.23%만유, 2겹 보강일 때 74.12%만유, 3겹 보강일 때 112.3%만유, 4겹 보강일 때 102.4%만유이 증가함유 할 수 있었다. 이 값을 역시 기준 계량식에 의한 값과 비교했을 때 각 접수에 따라 153%, 78%, 76%, 51% 정도의 보강효과를 가지는 것으로 나타났다. 여기서 보강접수가 증가함수와 보강효과는 더 줄어드는 경향을 보였는데, 이는 보강도수가 증가함수와 시공상의 불편점(3.2점의 단계 대각)이 가중되어 땅막현상이 빨리 진행되었기 때문으로 판단된다.

### 3.3.3 B3-D19 ( $\rho/\rho_b = 36.7\%$ ) 시험체

균형철근비에 대한 인장철근비가 36.7%인 B3-D19 시험체 그룹에 대한 하중-변위 관계를 Fig. 7에 나타내었다.

3겹 보강 시험체는 금속스러운 편성이 일어나 차감의 측정에 실패하여 자료는 생략하였다. 최대하중은 무보강 시험체와 비교하여 보면 1겹 보강일 때 -10.9%, 2겹 보강일 때 44.3%, 3겹 보강일 때 53.1%, 4겹 보강일 때 80.99%가 증가함유 할 수 있었고, 역시 기준 계량식에 의한 값과 비교해 보면 각 접수에 따라 157%, 75%, 59%, 66% 정도의 보강효과를 가지는 것으로 나타나 역시 보강량이 많을수록 보강효과는 감소함유 할 수 있어 보강량이 많음수록 시공상의 불편성이 많이 미침을 알 수 있었다.

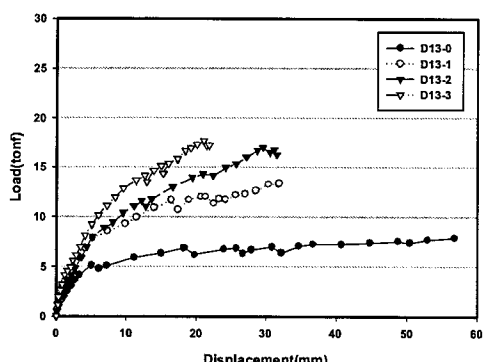


Fig. 5 보강접수에 따른 하중-변위 관계 ( $\rho/\rho_b = 16.3\%$ )

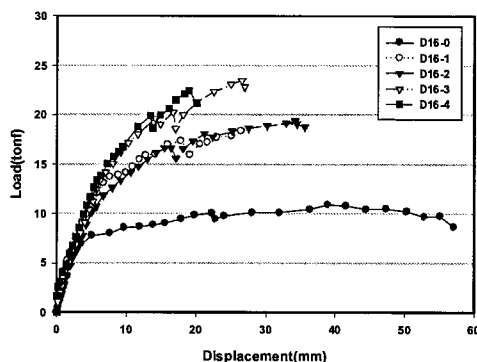


Fig. 6 보강접수에 따른 하중-변위 관계 ( $\rho/\rho_b = 25.6\%$ )

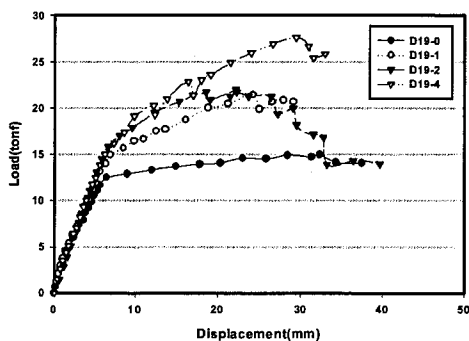


Fig. 7 보강접수에 따른 하중-변위 관계 ( $\rho/\rho_0 = 36.7\%$ )

### 3.4 최대내력에 의한 보강효과

시험체의 최대모멘트에 대한 설계값과 기준의 보강 모재단위에 의한 이론값을 비교하여 Table 6에 나타내었다.<sup>10)</sup>

Table 6을 보면 인장철근비가 증가함에 따라 최대 하중도 높아지며, 설계값의 이론값에 대한 비율은  $\rho/\rho_0$ 가 16.3%인 경우 0.81~1.20,  $\rho/\rho_0$ 가 25.6%인 경우 0.78~1.28,  $\rho/\rho_0$ 가 36.7%인 경우 0.87~

Table 6 최대모멘트 비교

시험 대명	설계값 (tf · m)	이론값 (tf · m)	설계값 이론값 비교 (ratio)	설계값 이론값 비교 (ratio)
B1-D13-0	2.77	2.27	1.22	1
B1-D13-1	4.74	3.94	1.20	1.71
B1-D13-2	5.95	5.67	1.04	2.15
B1-D13-3	6.19	7.35	0.84	2.23
B2-D16-0	3.88	3.45	1.12	1
B2-D16-1	8.43	5.02	1.28	1.66
B2-D16-2	6.77	6.71	1.01	1.74
B2-D16-3	8.21	8.35	0.98	2.12
B2-D16-4	7.85	9.95	0.78	2.02
B3-D19-0	5.33	5.01	1.06	1
B3-D19-1	7.50	6.30	1.19	1.41
B3-D19-2	7.68	7.94	0.98	1.44
B3-D19-3	8.14	9.54	0.85	1.53
B3-D19-4	9.66	11.09	0.87	1.81
				2.21

1.193, 보강접수가 증가할수록 보강재의 초기휨률으로 인해 비교적 큰 차이를 보이는 것으로 나타났다.

### 4. 결 론

철근관코리트 보와 하부에 단조심유시트를 보강한 때, 시공불량이 발생하는 현상을 실험을 통해 살펴본 결과 다음과 같은 결론을 얻을 수 있었다.

- 1) 무차이 불량한 경우 보강된 보의 하부양장은 단조심유시트로 보강된 보의 일반적인 하부양장과는 달리 탐색의 조짐을 보이는 소리가 상반적으로 나타나 시험체 모두 최대강도 도달이전에 단조심유시트가 아주 예민하게 탐색되는 현상을 나타냈다.
- 2) 철근비와 보강접수에 대한 보강효과는 설계치와 이론치의 비에 대해 평가 해본 결과,  $\rho/\rho_0$  가 16.3%인 경우는 각각 95%, 77%, 56%(1겹은 측정실험)이고  $\rho/\rho_0$  가 25.6%인 경우는 각각 143%, 78%, 78%, 51%, 그리고  $\rho/\rho_0$  가 36.7%인 경우는 각각 157%, 75%, 50%, 66%로 나타나 보강접수가 많을수록 시공불량의 영향이 많이 미침을 할 수 있었다.
- 3) 단조심유시트로 보강된 시험체와 차감은 보의 빛 면과 보강재가 충분히 부착되지 못하면 보 선체가 일제사동을 띠지 못하고 거의 외벽에 도달해 있을 때는 양호한 보강보에 비해 갑작스런 큰 차감이 발생하게 되므로, 실제 보강보에 있어 미소한 차짐이 발생한 경우 주의를 요한 필요가 있을 것으로 판단된다.
- 4) 보강접수가 1~4겹까지 변화할 때 최대 내력의 증가율은 각자의 인장철근비에 대해 분석해 보면, 인장철근비가 자음수록 그리고 보강량이 많을수록 최대내력의 증가율은 감소하는 경향이 있었다. 그러므로 시공불량인 경우, 낮은 인장철근비에서 내력과 중대를 얻기 위해 많은 양의 보강을 실시한 때는 더욱 철저한 시공관리가 요구된다.
- 5) 보강 후 시험체의 최대모멘트를 보강 선과 비교 하면, 이론식에 의한 증가율보다는 낮지만 시공

불량이 되어와도 악간의 내려증과 표후는 보이는 것으로 나타났다. 이 때문에 선체 현장에 시공되는 탄소섬유시트 보강 구조체의 속자는 그러나지 않는 위험이 대처되어 있다고 판단된다. 따라서, 시공시 신속한 수의사항을 고려하지 않은 보강보에 대해서는 차검이나 헌재 민고 있는 하중당내 측 평가하는 등, 항상 세밀한 위험을 통한 관리가 요구된다.

### 참 고 문 헌

1. 전남부, "국한 강도설계법에 의한 철근콘크리트 구조설계 규준 및 해설", 1990
2. 선명수, 휴기철, 최한철, 훈영준, "탄소섬유시트로 밀집 보강된 철근콘크리트보의 구조적 거동", 대한건축학회논문집 11권8호 출판82호 1995년 8월, pp. 249~257
3. 오동우, "철근콘크리트 보의 외부보강판 접착으로 인한 보강효과에 관한 연구", 서울대 대학원 박사학위논문, 1997, 8
4. (주) 대우건설기술연구소, "한국관련 탄소섬유시트 보강 보의 성능평가방법", (주) 한국관본, 1997, 11.
5. 선명수, 민병규, 단종문, 조인철, 김명수, 조삼재, "탄소섬유시트의 보강방 및 전자설이가 RC보의 휨거울에 미치는 영향", 한국콘크리트학회 1998년 별 학술발표회 논문집 pp. 579~581
6. 선명수, 죄, "탄소섬유시트 보강부재의 구조성능 연구", 1998, 6, 한국콘크리트학회 공학기술연구소
7. Y. N. Ziraba, M. H. Baluchi, I. A. Basumbul, A. M. Sharif, A. K. Azad, and G. J. Al-Suhaimani, "Guidelines toward the Design of Helo-reinforced Concrete Beams with External Plates", ACI Structural Journal November/December 1994, pp. 639~646
8. Hota, V. S., Gangarao, and P. V. Vijay, "Bending Behavior of Concrete Beams Wrapped with Carbon Fabric", Journal of Structural Engineering, January 1998, pp. 3~10
9. Alfazabi Sharif, G. J. Al-Suhaimani, I. A. Basumbul, M. H. Baluchi, and B. N. Ghaleb, "Strengthening of Tensionally Loaded Reinforced Concrete Beams Using FRP Plates", ACI Structural Journal, March/April 1994, pp. 169~168

(접수일자 : 2001년 3월 30일)